

## КОРРЕЛЯЦИЯ МЕЖДУ УГЛОВЫМ МОМЕНТОМ ОСТАТОЧНОГО ЯДРА И МНОЖЕСТВЕННОСТЬЮ НЕЙТРОНОВ В РЕАКЦИИ ( $\pi^-$ , $xn$ )

*В.С.Бутцев, Ю.К.Гаврилов, С.М.Поликанов*

*Е.П.Череватенко, Д.Чултэм*

Установлена зависимость изомерного отношения от числа испущенных нейтронов в реакции  $\text{Sn}(\pi^-, xn)^{108, 109}\text{In}$ . Зависимость имеет максимум при  $x = 6 \div 7$ , что соответствует энергии возбуждения порядка  $m\pi/2$ .

Известно, что при поглощении остановившихся отрицательных пионов сложными ядрами испускается большое число нейтронов и возбуждаются высокоспиновые состояния в остаточных ядрах [1].

Целью настоящей работы явилось исследование связи между этими двумя явлениями, что сводилось к определению относительных вероятностей образования высокоспиновых изомеров при фиксированных значениях спина начального и конечного ядер, и различном числе вылетающих нейтронов.

В эксперименте измерялись изомерные отношения в изотопах  $^{108}\text{In}$  и  $^{110}\text{In}$ , образующихся в результате облучения пионами четных изотопов олова (табл. 1)

Таблица 1  
Характеристики мишеней

Мишени	$^{112}\text{Sn}$	$^{114}\text{Sn}$	$^{116}\text{Sn}$	$^{118}\text{Sn}$	$^{120}\text{Sn}$	$^{122}\text{Sn}$	$^{124}\text{Sn}$
Обогащение, %	80,0	70,0	98,0	98,3	99,2	92,1	97,9
Вес в граммах	5,0	9,2	10,4	9,0	9,0	10,0	9,0

Времена облучения, охлаждения и измерения для всех мишеней были одинаковы и равнялись, соответственно, 30,4 и 30 минутам с точностью в 10 сек.

Измерения проводились в одинаковой геометрии при одном и том же режиме германий-литиевого спектрометра. Форма и размеры мишеней (диск  $\phi 30\text{ мм}, h \leq 1\text{ мм}$ ) позволяли пренебречь самопоглощением гамма-лучей с энергией выше 600 кэВ. На рисунке 1, а, б приведены участки спектров гамма-лучей, содержащие наиболее интенсивные линии изотопов  $^{108},^{110}\text{In}$ , по которым определялись их изомерные отношения. В табл. 2 даны сведения об этих изотопах.

Таблица 2  
Характеристики изотопов  $^{108},^{110}\text{In}$

	$T_{1/2}$		$E_{\gamma, \text{кэВ}}$	$I_{\gamma}^{\text{отн.}}$
$^{108\text{M}}\text{In}$	56 мин	$6^+$	633,2	100
			876,0	85
$^{108\text{O}}\text{In}$	39 мин	$3^+$	633,2	100
$^{110\text{M}}\text{In}$	4,9 мин	$7^+$	657,5	100
			884,7	96
$^{110\text{O}}\text{In}$	69 мин	$2^+$	657,5	100

В обоих изотопах индия между высокоспиновым и низкоспиновым изомерами отсутствуют изомерные переходы и они независимо друг от друга испытывают бета-распад. Поэтому искомые изомерные отношения прямо пропорциональны отношению выходов гамма-лучей, возникающих при распаде метастабильного и основного состояний и были вычислены из площадей фотопиков соответствующих линий в спектре.

На рис. 2 показаны полученные значения изомерных отношений в относительных единицах в зависимости от числа испущенных нейтронов. Видно, что величина изомерного отношения в изотопах  $^{108}\text{In}$  и  $^{110}\text{In}$  растет с увеличением множественности нейтронов от 2 до 6, а затем падает с дальнейшим ростом  $X$ . В случае мишени  $^{124}\text{Sn}$  выход  $^{108},^{110}\text{In}$  оказался настолько мал, что не удалось определить  $\sigma_m/\sigma_g$ .

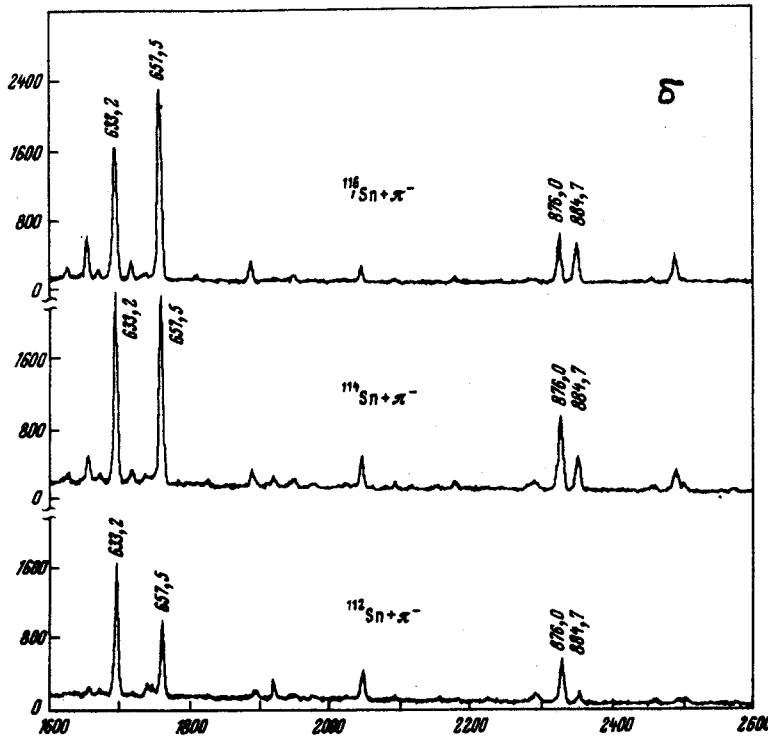
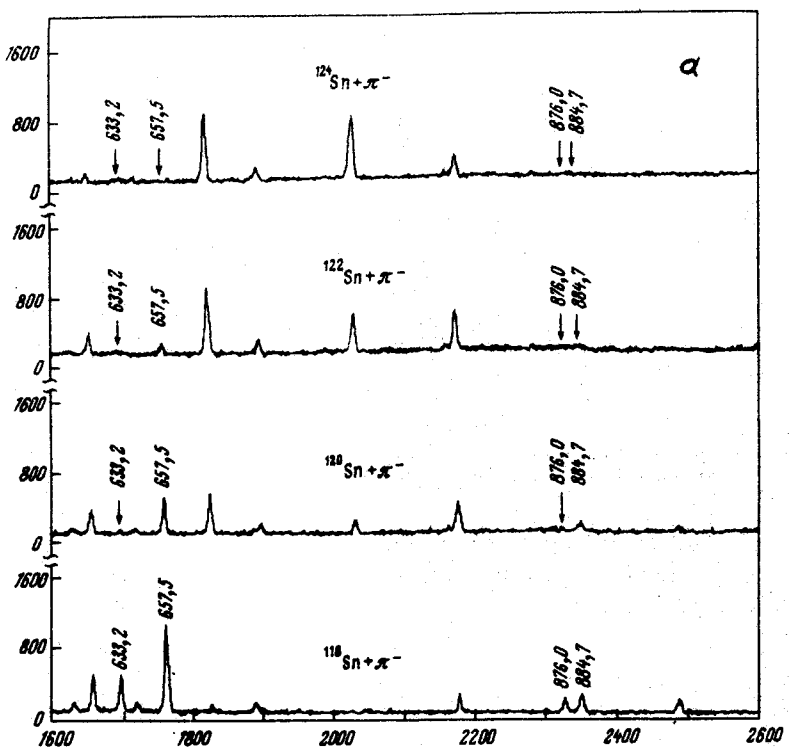


Рис. 1. Участки спектров гамма-лучей, содержащие наиболее интенсивные линии изотопов  $^{108}\text{In}$  и  $^{110}\text{In}$ . Для мишеней  $^{120}\text{Sn}$  и  $^{122}\text{Sn}$  стрелками показаны положения очень слабых линий, которые можно заметить лишь при статической обработке

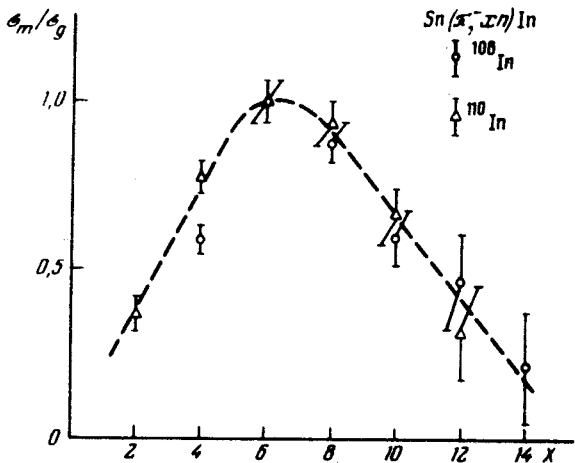


Рис. 2. Зависимость изомерного отношения от множественности нейтронов. Все значения нормированы к  $X = 6$

Экспериментальные результаты находятся в качественном согласии с расчетами по статистической модели [2] и свидетельствуют о большой роли внутриядерного каскада в формировании углового момента остаточных ядер.

Объединенный институт  
ядерных исследований

Поступила в редакцию  
21 июня 1976 г.

### Литература

- [1] В.С.Бутцев, Ю.К.Гаврилов, Ж.Ганзориг, С.М.Поликанов, Д.Чултэм.  
Письма в ЖЭТФ, 21, 400, 1975.
- [2] А.С.Ильинов, В.И.Назарук, С.Е.Чигринов. Препринт ИЯИ АН СССР,  
П-0022, Москва, 1975.